

ДИФФЕРЕНЦИАЛЬНАЯ ДИАГНОСТИКА ОБРАЗОВАНИЙ МОЛОЧНЫХ ЖЕЛЕЗ

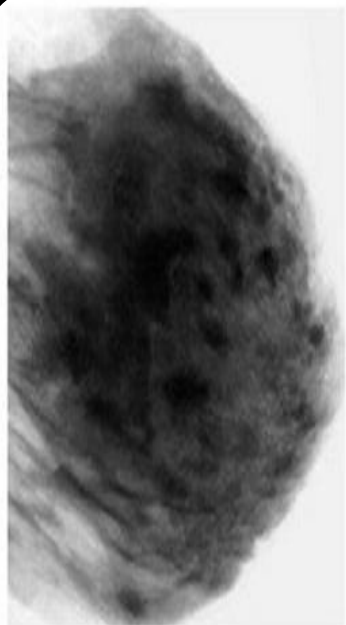
*Докладчик: Иванова Камила Сергеевна
лечебный факультет
3 курс гр 1615*

КЛИНИЧЕСКАЯ ДИАГНОСТИКА ВКЛЮЧАЕТ:

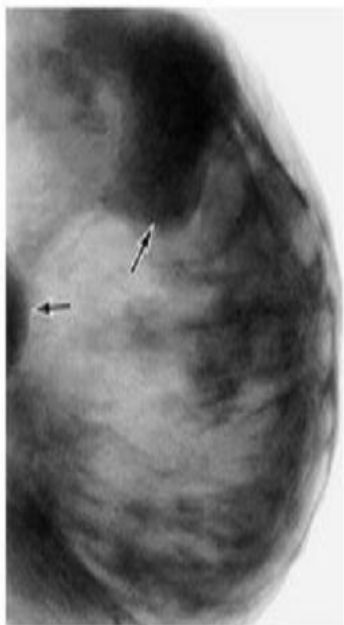
- *Сбор анамнеза*
- *Осмотр молочных желез*
- *Пальпация молочных желез.*
- *Пальпация подмышечных и шейно-надключичных лимфатических узлов*
- ***При обнаружении уплотнения необходимо дать характеристику по схеме:***
 - *размеры, четкость границ*
 - *локализация*
 - *форма*
 - *консистенция*
 - *смещаемость.*

*ИНСТРУМЕНТАЛЬНАЯ
ДИАГНОСТИКА ВКЛЮЧАЕТ:*

- рентгеновская маммография*
- УЗИ*
- магнитно-резонансная
маммография*



Маммография, фото 1
Молочная железа в норме



Маммография, фото 2
Мастопатия



Маммография, фото 3
Рак



Молочная железа в норме
Маммография, фото 1

Мастопатия
Маммография, фото 2

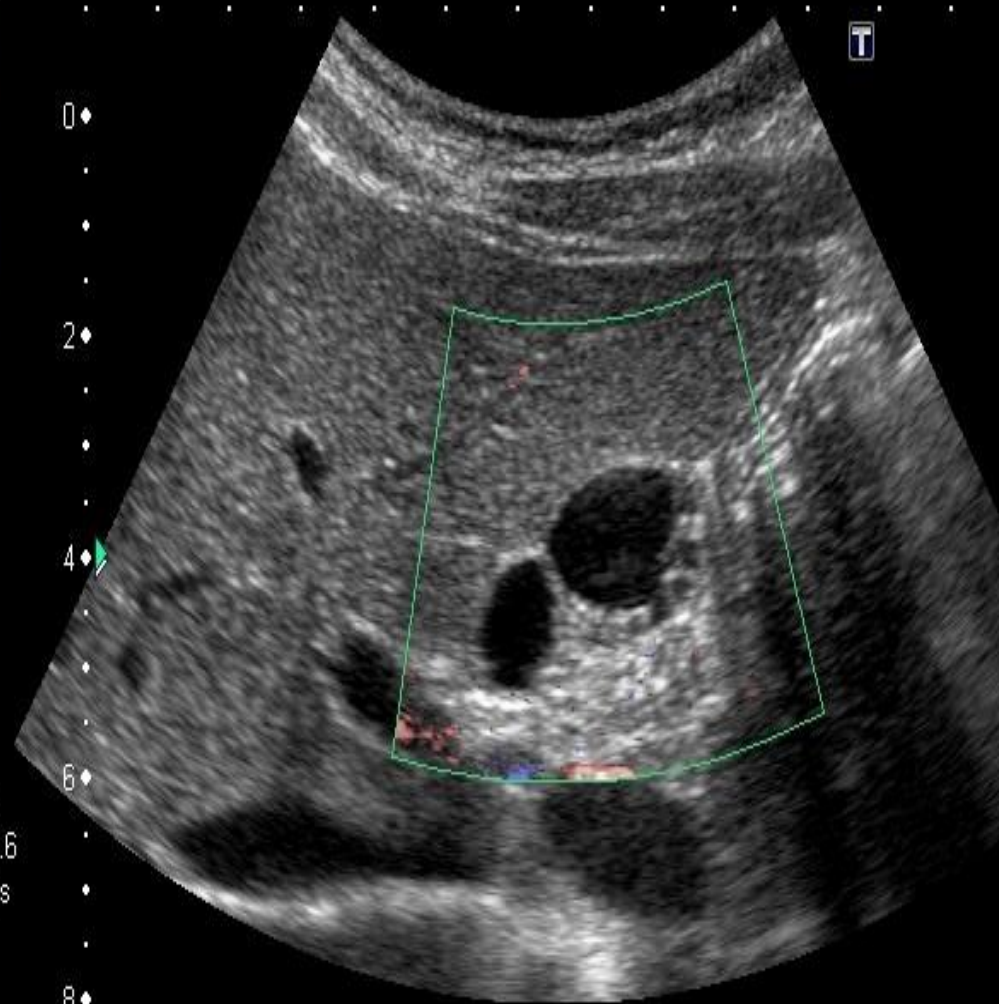
Рак
Маммография, фото 3



10.4

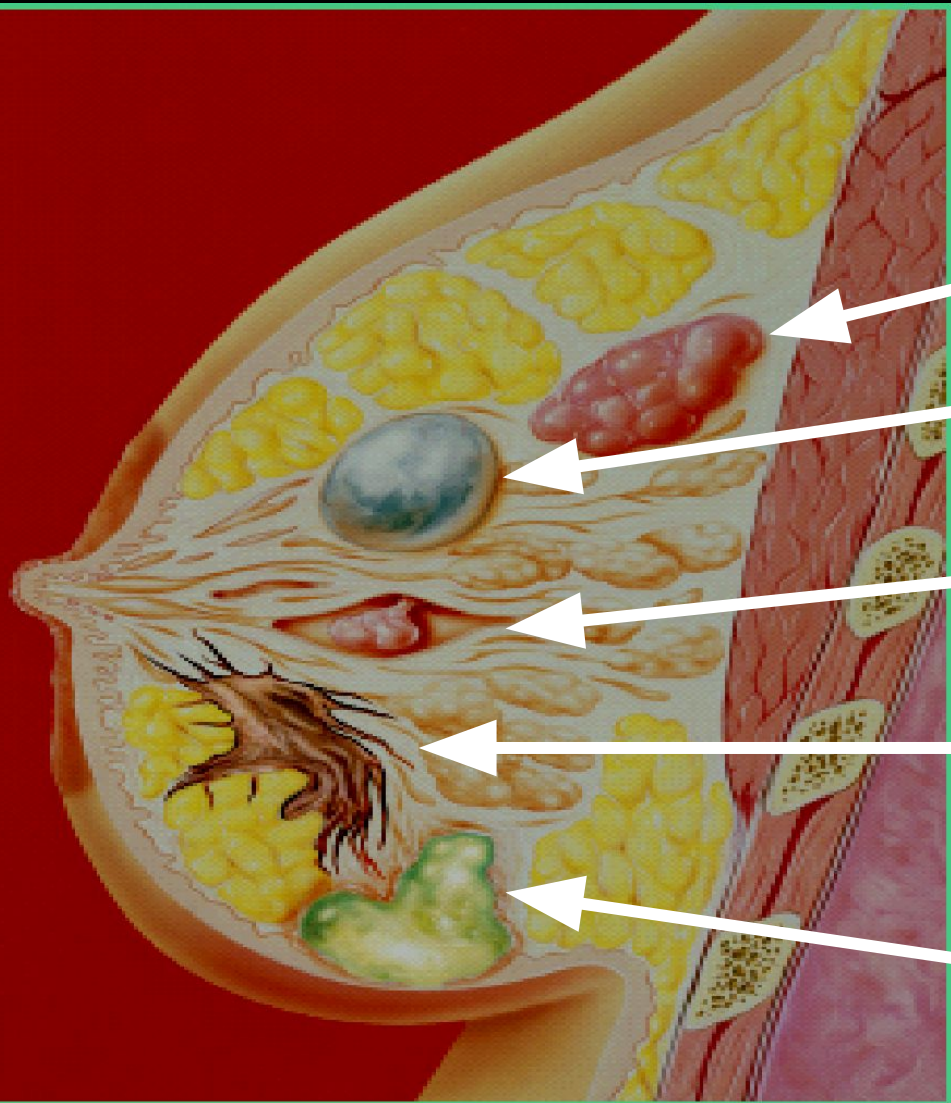


6C1
T5.0
DF 3.6
12 fps





ОБРАЗОВАНИЯ МОЛОЧНОЙ ЖЕЛЕЗЫ



ФИБРОАДЕНОМА

КИСТА

ПАПИЛОМА

ЗЛОКАЧЕСТВЕННАЯ
ОПУХОЛЬ

АБСЦЕСС

МР-КРИТЕРИИ ЗЛОКАЧЕСТВЕННЫХ ОБРАЗОВАНИЙ МОЛОЧНОЙ ЖЕЛЕЗЫ

МОРФОЛОГИЯ КОНТРАСТНОГО УСИЛЕНИЯ:

-НЕРОВНЫЕ ИЛИ ПРЕРЫВИСТЫЕ КОНТУРЫ

- РАННЕЕ УСИЛЕНИЕ ПО ПЕРИФЕРИИ ОПУХОЛИ ИЛИ СИНДРОМ КОЛЬЦА, ОТСТАВАНИЕ КОНТРАСТИРОВАНИЯ В ЦЕНТРЕ ОПУХОЛИ (ЦЕНТРАЛЬНЫЙ НЕКРОЗ)

-НЕПРАВИЛЬНАЯ ФОРМА ЗОНЫ НАКОПЛЕНИЯ КОНТРАСТНОГО ВЕЩЕСТВА

-НЕОДНОРОДНАЯ ВНУТРЕННЯЯ СТРУКТУРА НАКОПЛЕНИЯ

ДИНАМИКА КОНТРАСТНОГО УСИЛЕНИЯ:

-УВЕЛИЧЕНИЕ ИНТЕНСИВНОСТИ МР-СИГНАЛА БОЛЕЕ ЧЕМ НА 90% В ТЕЧЕНИЕ ПЕРВОЙ МИНУТЫ ПОСЛЕ ВВЕДЕНИЯ КОНТРАСТНОГО ВЕЩЕСТВА

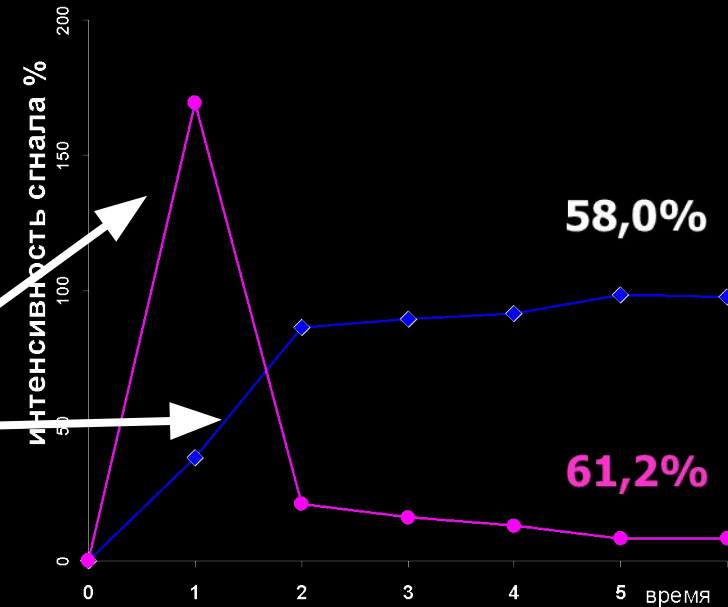
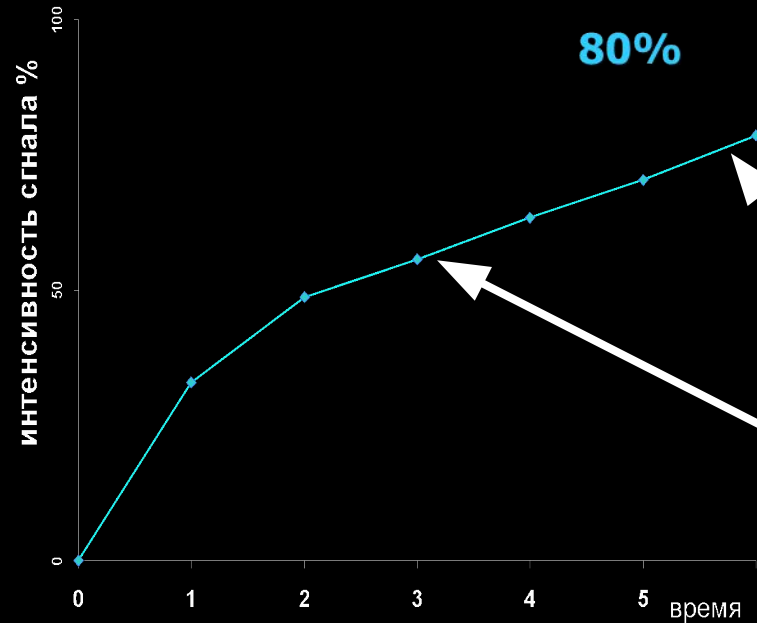
-МАКСИМАЛЬНАЯ ИНТЕНСИВНОСТЬ МР-СИГНАЛА МЕЖДУ ПЕРВОЙ И ВТОРОЙ МИНУТАМИ ПОСЛЕ ВВЕДЕНИЯ БОЛЮСА КОНТРАСТНОГО ВЕЩЕСТВА

-ИНТЕНСИВНОСТЬ СИГНАЛА ДОСТИГАЕТ ПЛАТО ИЛИ УМЕНЬШАЕТСЯ (ЭФФЕКТ ВЫМЫВАНИЯ) ПОСЛЕ ВТОРОЙ МИНУТЫ С НАЧАЛА ВВЕДЕНИЯ КОНТРАСТНОГО ВЕЩЕСТВА

ДИНАМИЧЕСКОЕ КОНТРАСТИРОВАНИЕ ТИПЫ КРИВЫХ «ИНТЕНСИВНОСТЬ СИГНАЛА – ВРЕМЯ»

Доброкачественные

Злокачественные



Между центральными и периферическими отделами $p > 0,05$

Между центральными и периферическими отделами
 $\chi^2 = 25,69, p < 0,001$

ПРЕИМУЩЕСТВА МРМ С ДКУ:

- *Дифференциальная диагностика узловых образований*
- *Выявление узловых образований от 3-5 мм*
- *Возможность выявления рака in situ*
- *Мультицентричность*
- *Полифокальность, билатеральность*
- *Распространённость*

ДИФФЕРЕНЦИАЛЬНАЯ ДИАГНОСТИКА ОБРАЗОВАНИЙ МОЛОЧНОЙ ЖЕЛЕЗЫ

- 1. Оценка формы и контуров образования*
- 2. Наличие деформации кожи и большой грудной мышцы*
- 3. Наличие лимфоаденопатии, лимфангита*
- 4. Морфологические критерии накопления контрастного вещества (диффузное, линейное, очаговое, гомогенность)*
- 5. Динамические критерии накопления контрастного вещества*
 - степень интенсивности сигнала,*
 - тип кривой,*
 - характер контрастирования патологического образования,*
 - наличие питающего сосуда,*
 - изменение сосудистой сети вокруг образования*

• Система описания данных и интерпретации маммографических изображений (BI-RADS - Breast Imaging Reporting and Data System) или наличие морфологических признаков опухоли

предложена Американской коллегией радиологов (2003)

Рентгенолог должен в своем заключении использовать термины, рекомендованные терминологией BI-RADS, что позволяет стандартизировать маммографические заключения

BI-RADS

□ Структура паренхимы железы

□ Опухоли

□ Обызвествления

□ Сопутствующие изменения

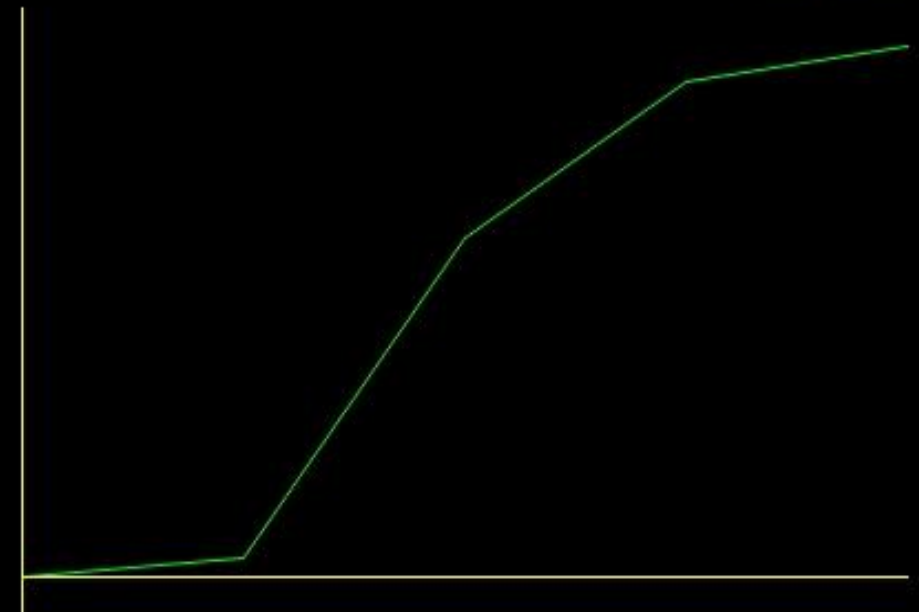
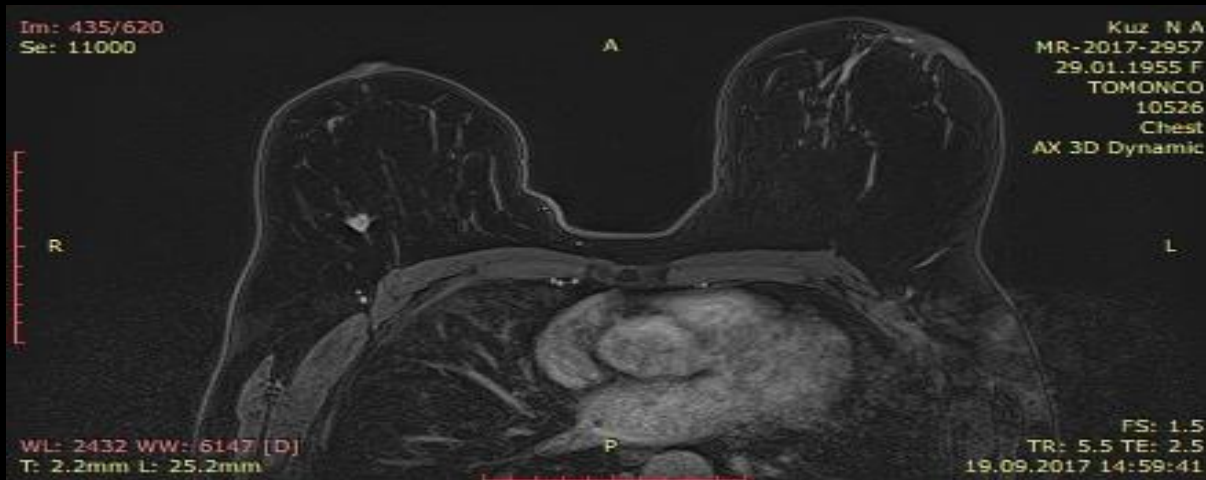
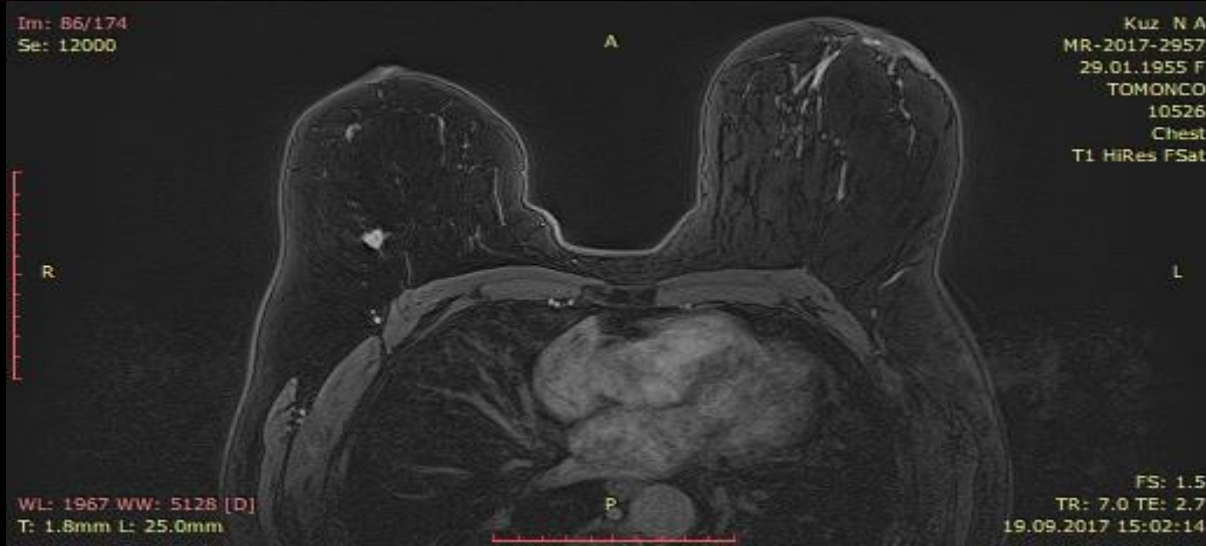
Окончательный диагноз распределяют по категориям от 1 до 5

BI-RADS

- 0 - отсутствие образования;*
- 1- безусловно доброкачественное образование;*
- 2 - вероятно доброкачественное образование;*
- 3 - промежуточное образование;*
- 4 - вероятно злокачественное образование*
- 5 - безусловно злокачественное образование*

Im: 1/6
Se: 10001

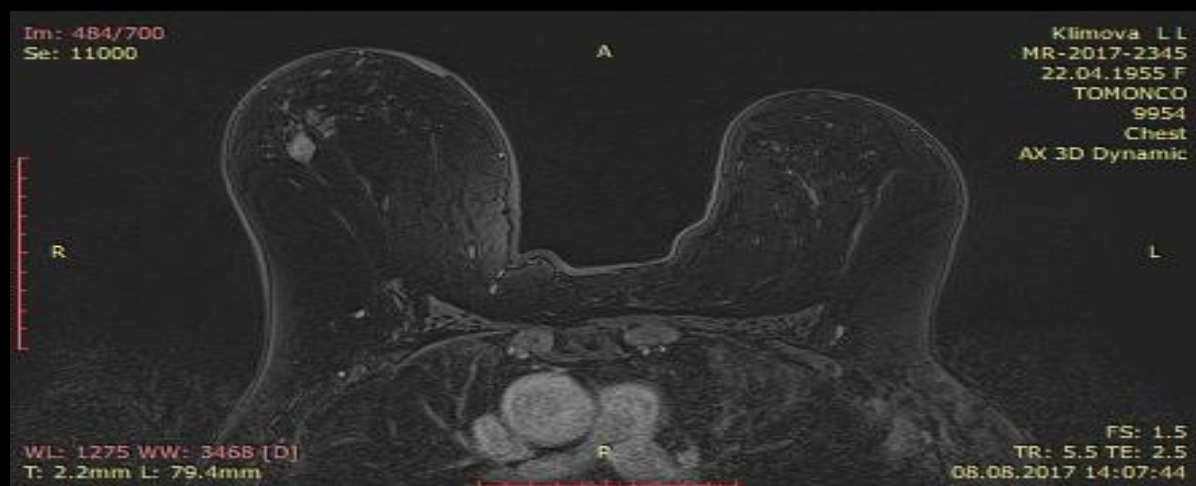
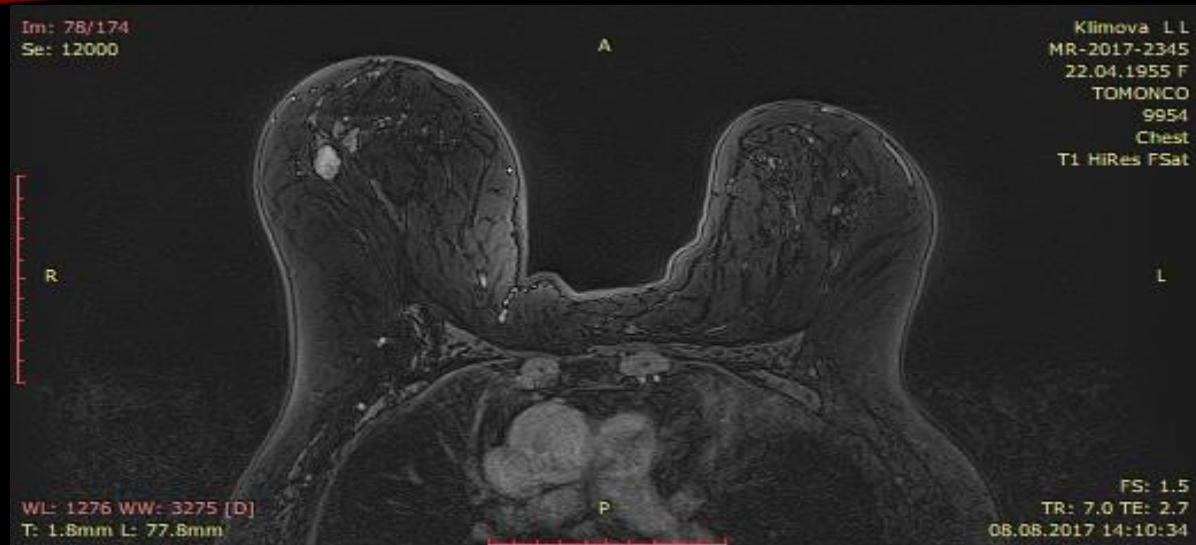
MR-2017-2957
29.01.1955 F
TOMONCO
10526
Chest
Time-intensity curve



No.	11000	11000	11000	11000	11000
Tm	0s	100s	169s	238s	307s
Val	1015.5	1053.1	1688.4	1995.6	2068.1
%	0.0%	3.7%	66.3%	96.5%	103.7%

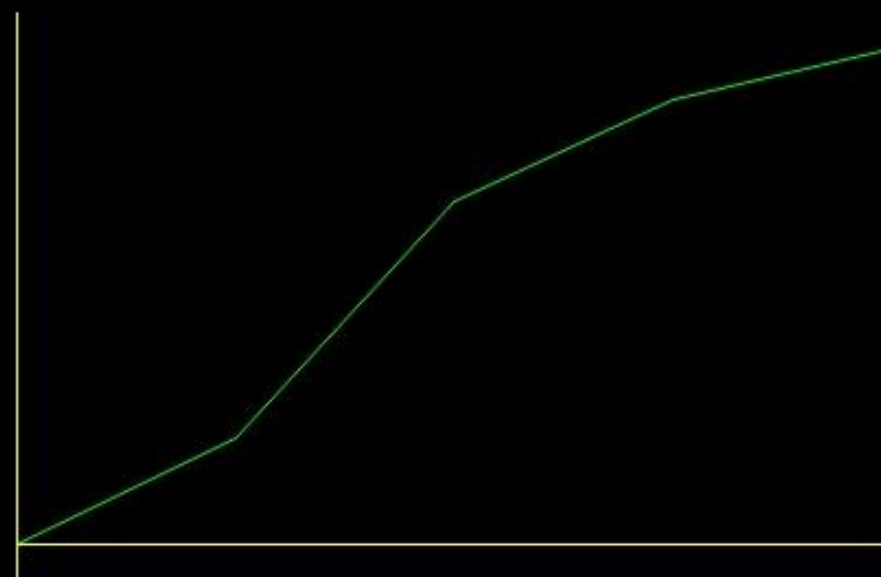
WL: 128 WW: 256 [D]

19.09.2017 14:33:19



Im: 1/6
Se: 10002

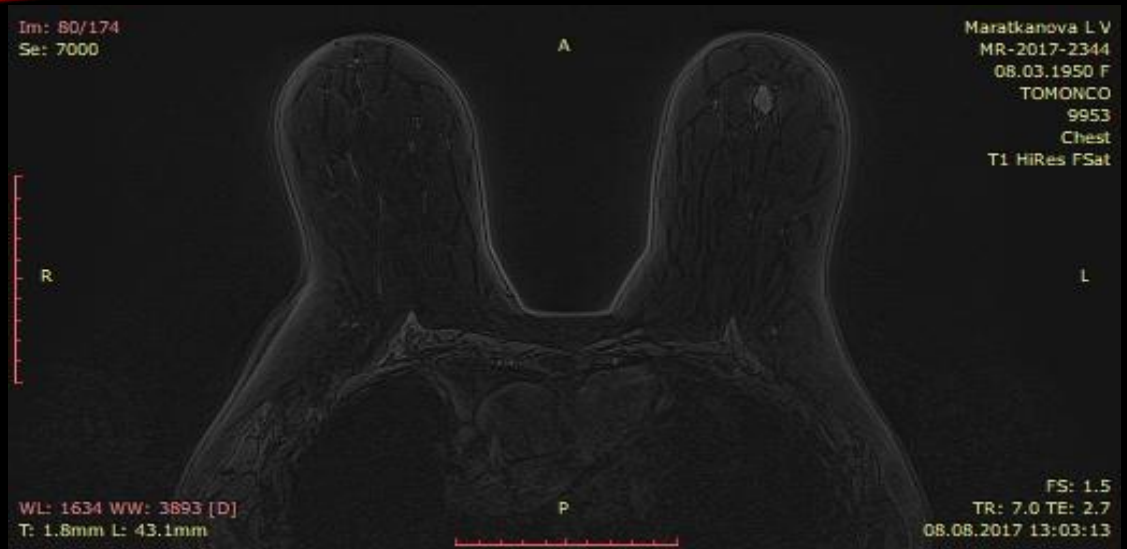
MR-2017-2345
22.04.1955 F
TOMONCO
9954
Chest
Time-intensity curve



No.	11000	11000	11000	11000	11000
Tm	0s	81s	158s	234s	311s
Val	546.6	604.7	733.7	789.5	816.8
%	0.0%	10.6%	34.2%	44.5%	49.4%

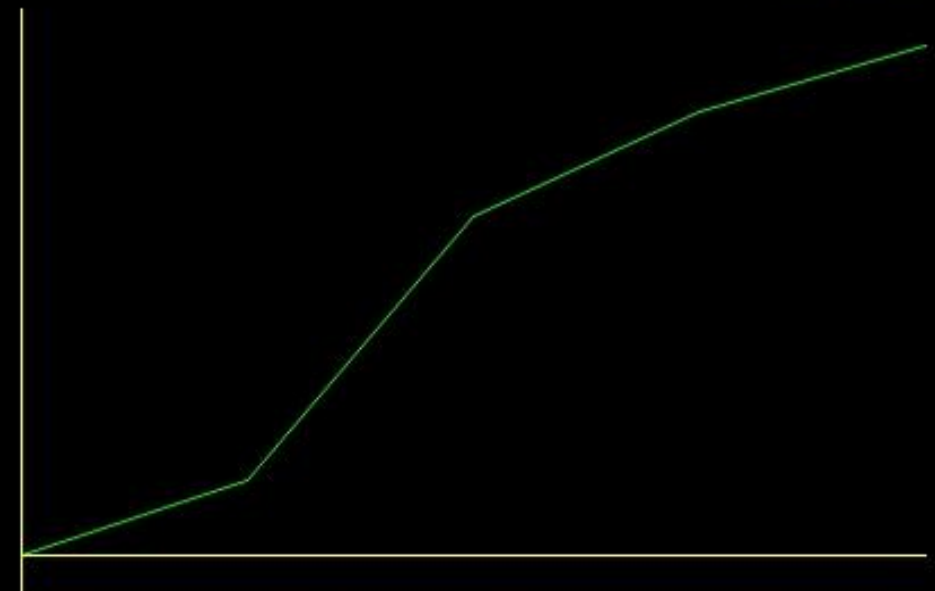
WL: 128 WW: 256 [D]

08.08.2017 13:40:52



Im: 1/6
Se: 10003

MR-2017-2344
08.03.1950 F
TOMONCO
9953
Chest
Time-intensity curve



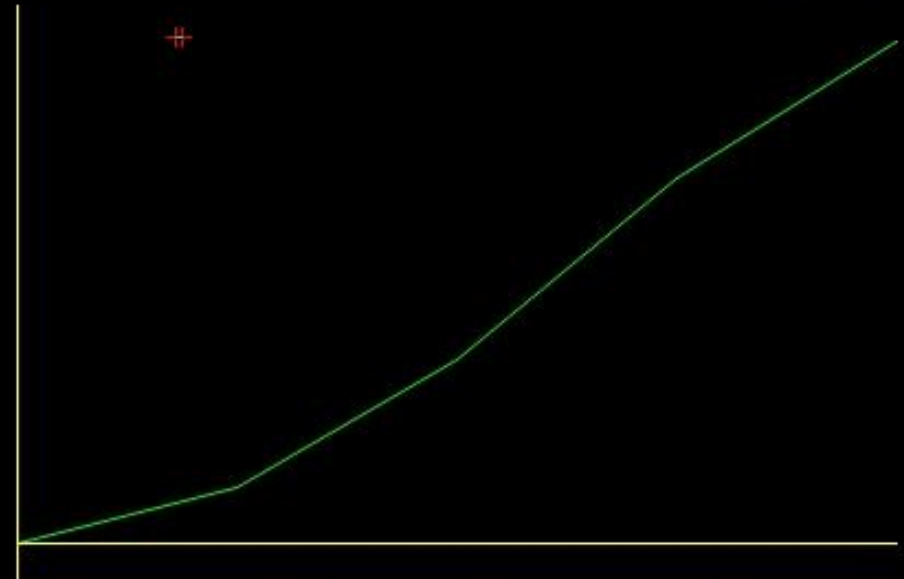
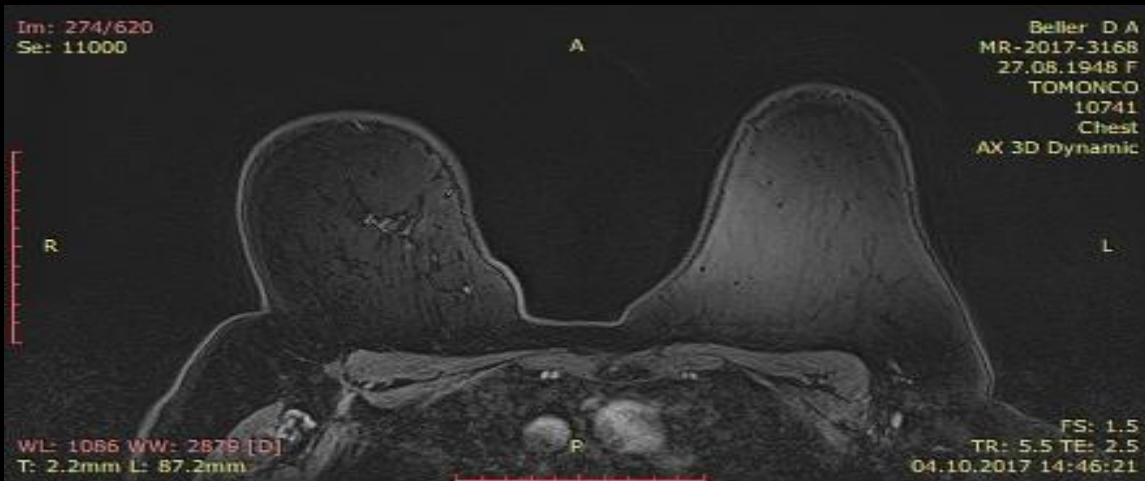
No.	12000	12000	12000	12000	12000
Tm	0s	78s	147s	216s	285s
Val	430.8	511.0	790.7	901.4	971.8
%	0.0%	18.6%	83.5%	109.2%	125.6%

WL: 128 WW: 256 [D]

08.08.2017 12:51:58

Im: 1/6
Se: 10002

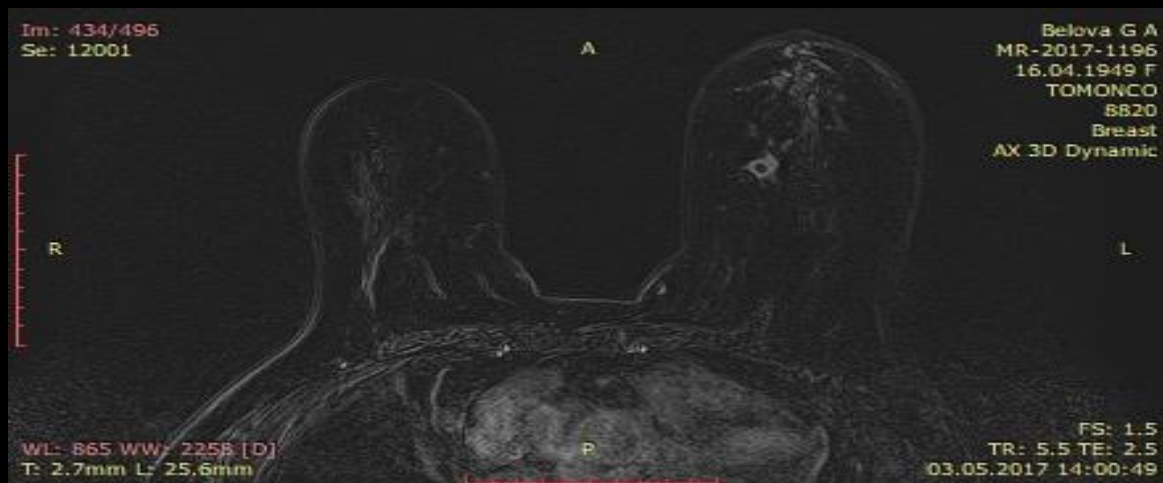
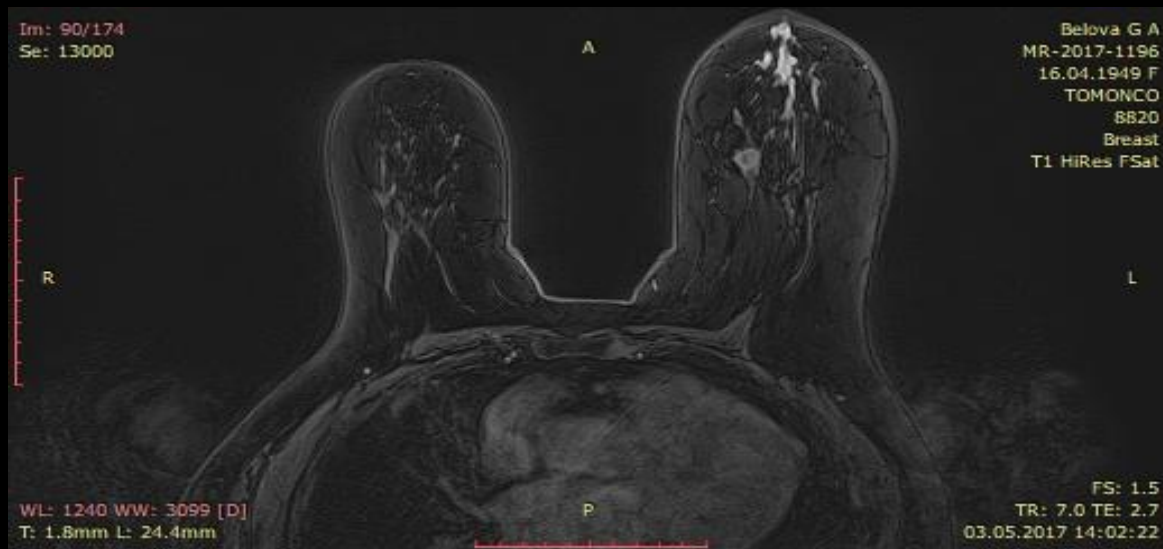
MR-2017-3168
27.08.1948 F
TOMONCO
10741
Chest
Time-intensity curve



No.	11000	11000	11000	11000	11000
Tm	0s	101s	170s	239s	308s
Val	338.0	345.5	362.8	387.2	405.7
%	0.0%	2.2%	7.3%	14.6%	20.0%

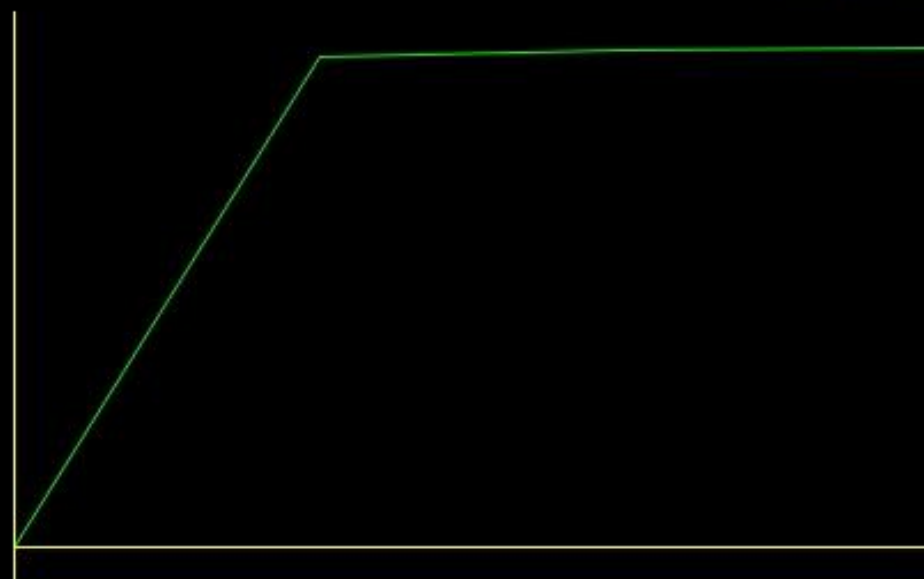
WL: 128 WW: 256 [D]

04.10.2017 14:21:34



Im: 1/5
Se: 10004

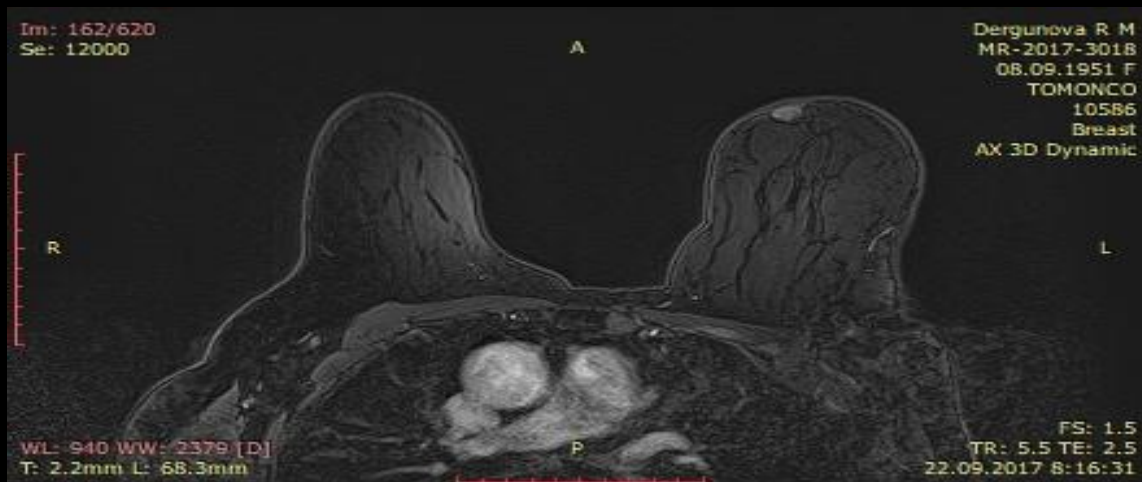
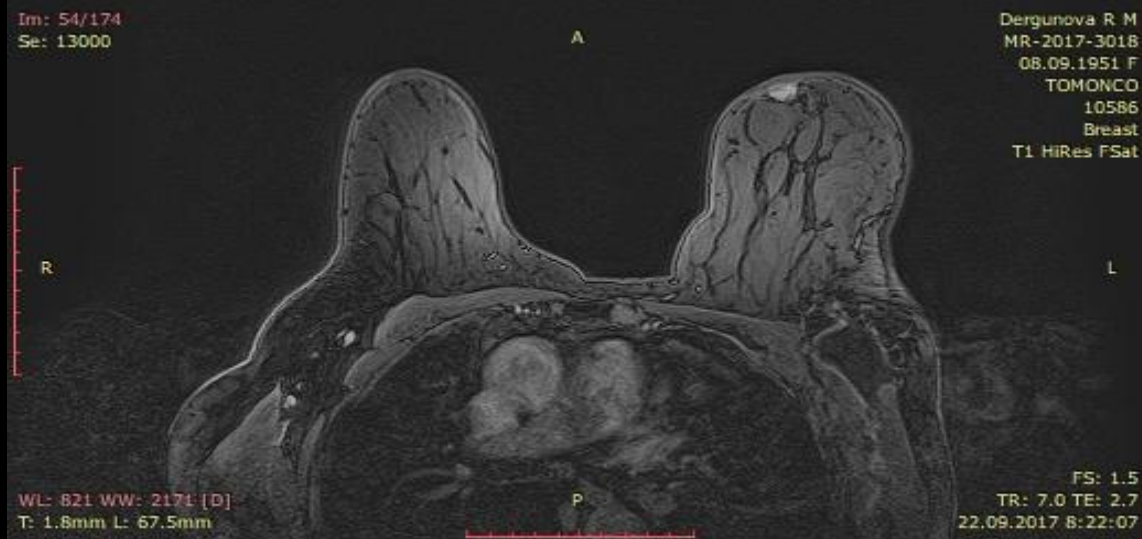
MR-2017-1196
16.04.1949 F
TOMONCO
8820
Breast
Time-intensity curve



No.	12001	12001	12001	12001
Tm	0s	69s	138s	207s
Val	251.9	433.8	436.9	437.5
%	0.0%	72.2%	73.5%	73.7%

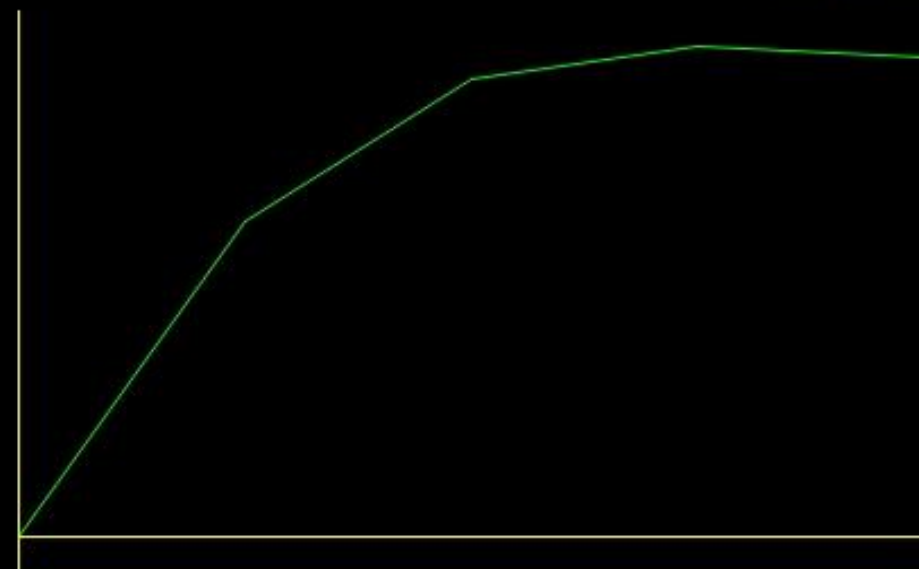
WL: 128 WW: 256 [D]

03.05.2017 13:32:56



Im: 1/6
Se: 10005

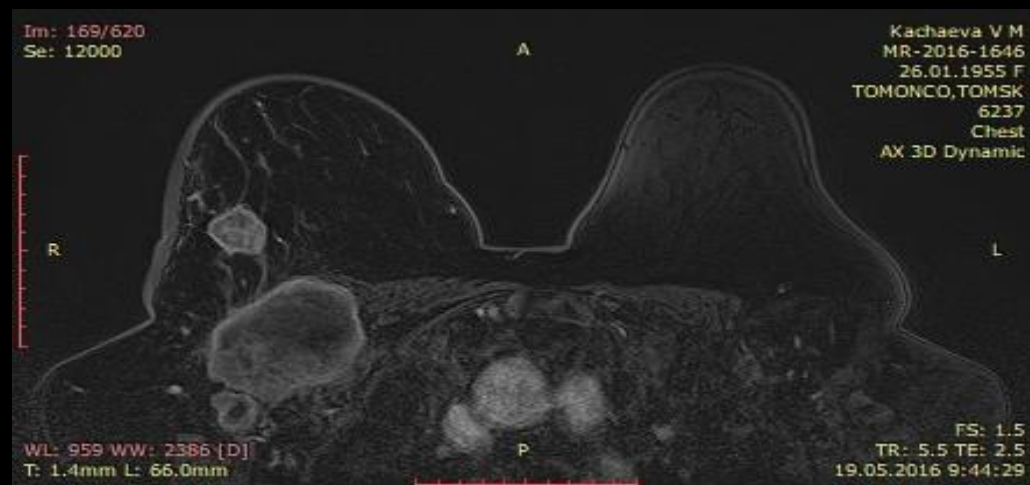
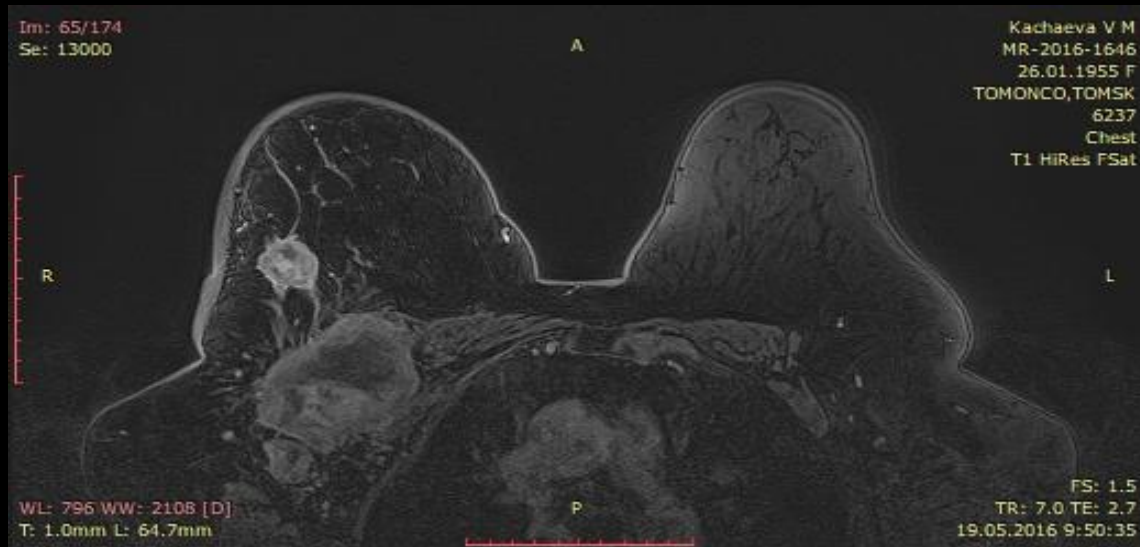
MR-2017-3018
08.09.1951 F
TOMONCO
10586
Breast
Time-intensity curve

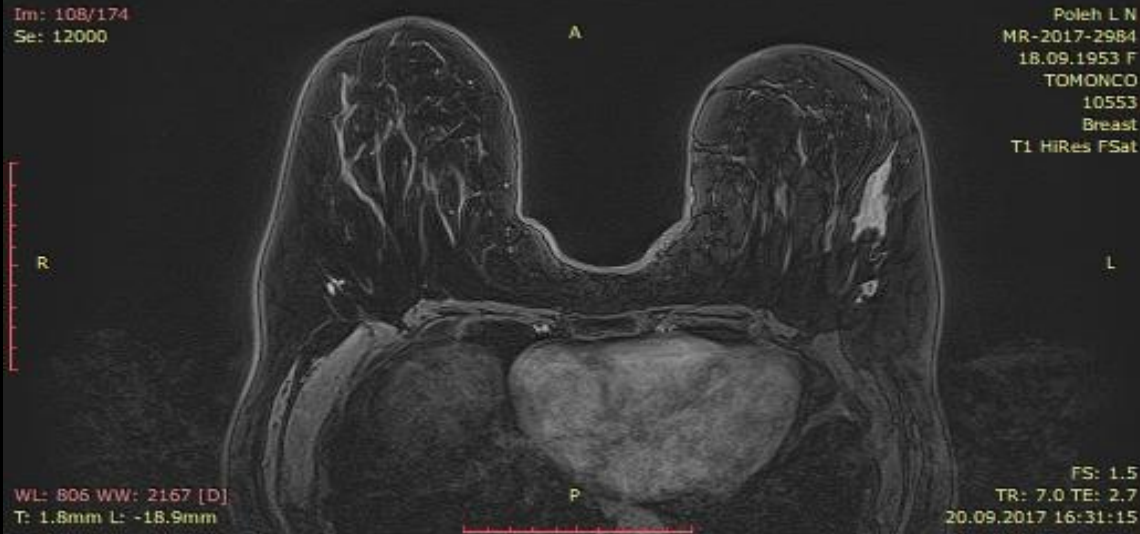


No.	12000	12000	12000	12000	12000
Tm	0s	77s	146s	215s	284s
Val	324.8	625.4	762.7	793.8	783.8
%	0.0%	92.6%	134.8%	144.4%	141.3%

WL: 128 WW: 256 [D]

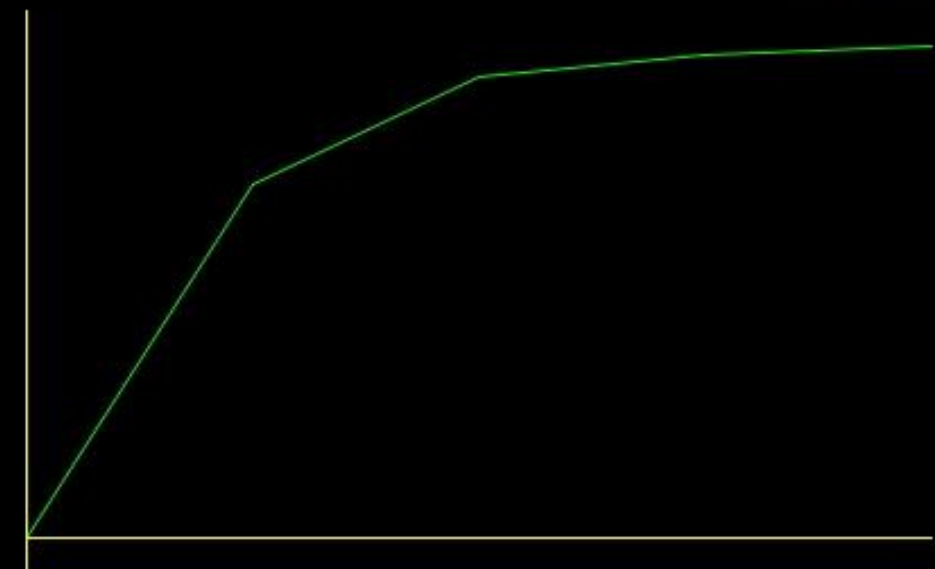
22.09.2017 7:52:21





Im: 1/6
Se: 10006

MR-2017-2984
18.09.1953 F
TOMONCO
10553
Breast
Time-intensity curve



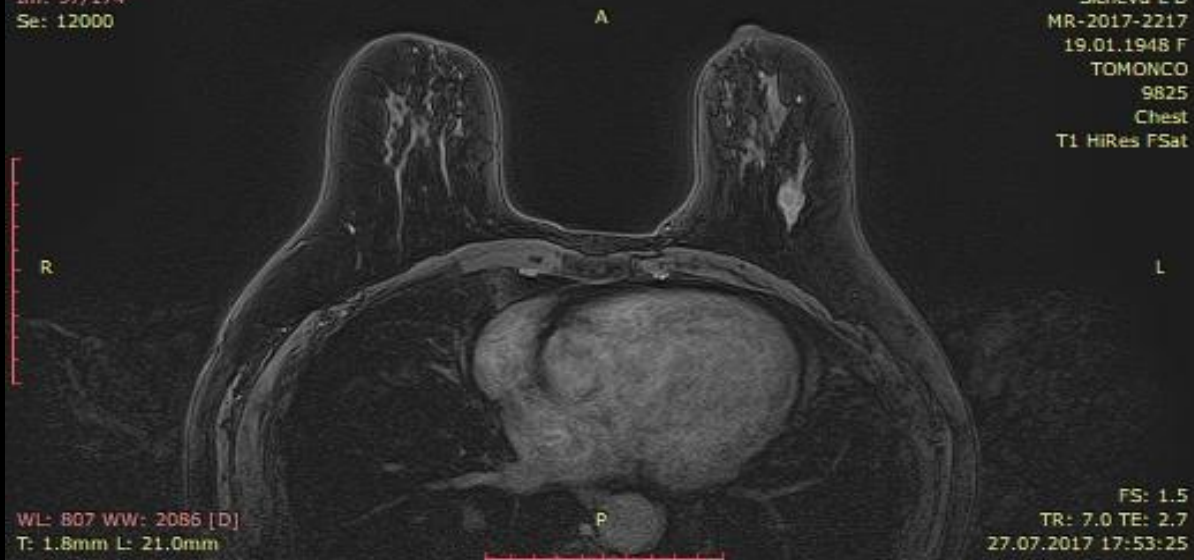
No.	11000	11000	11000	11000	11000
Tm	0s	74s	143s	212s	281s
Val	378.1	750.0	863.3	888.2	896.5
%	0.0%	98.4%	128.3%	134.9%	137.1%

WL: 128 WW: 256 [D]

20.09.2017 16:01:22

Im: 97/174
Se: 12000

Sicheva L D
MR-2017-2217
19.01.1948 F
TOMONCO
9825
Chest
T1 HiRes FSat

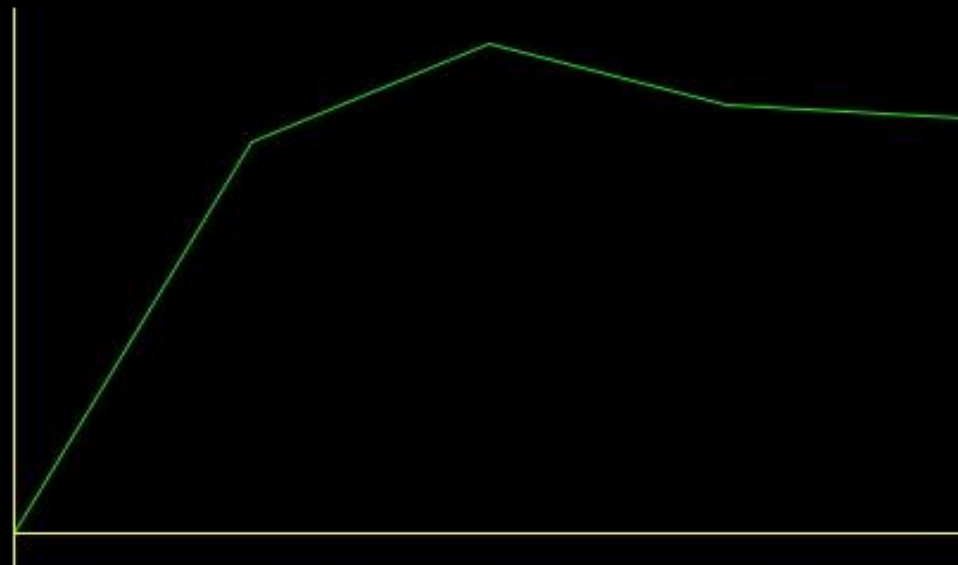


WL: 807 WW: 2066 [D]
T: 1.8mm L: 21.0mm

FS: 1.5
TR: 7.0 TE: 2.7
27.07.2017 17:53:25

Im: 1/6
Se: 10007

MR-2017-2217
19.01.1948 F
TOMONCO
9825
Chest
Time-intensity curve



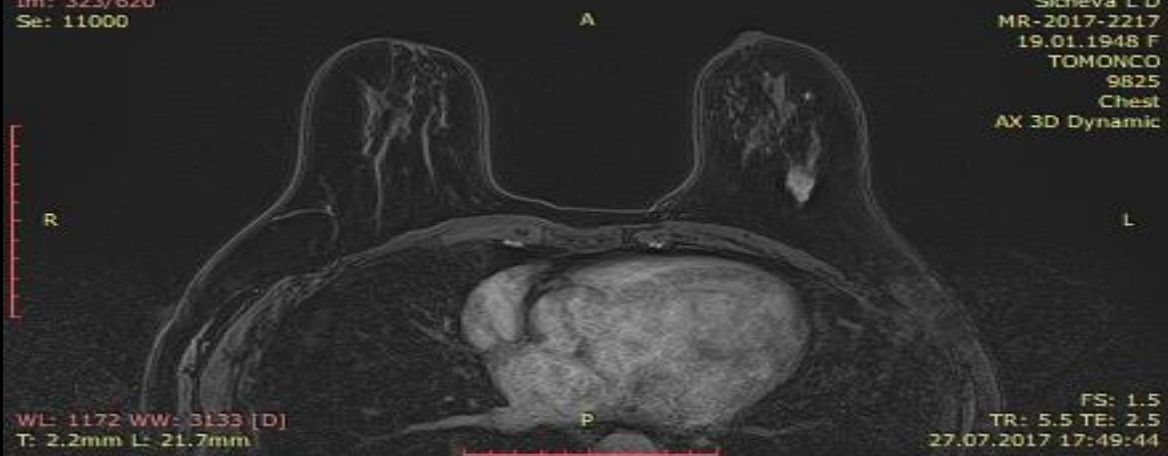
No.	11000	11000	11000	11000	11000
Tm	0s	72s	141s	210s	279s
Val	383.7	877.9	1001.3	922.8	907.2
%	0.0%	128.8%	160.9%	140.5%	136.4%

WL: 128 WW: 256 [D]

27.07.2017 17:26:13

Im: 323/620
Se: 11000

Sicheva L D
MR-2017-2217
19.01.1948 F
TOMONCO
9825
Chest
AX 3D Dynamic



WL: 1172 WW: 3133 [D]
T: 2.2mm L: 21.7mm

FS: 1.5
TR: 5.5 TE: 2.5
27.07.2017 17:49:44